

Análise dinâmica da tendência para o equilíbrio
num modelo simples: a 2ª Lei de Newton $f = ma$ e a 2ª
Lei da Termodinâmica $dS \geq 0$

Rodrigo de Abreu
Departamento de Física e Centro de Electrodinâmica,
Instituto Superior Técnico, Lisboa, Portugal

Abstract

We relate Newton's Second Law with the Second Law of Thermodynamics through the analysis of a simple model introducing a dynamic pressure concept. From this analyses we can clarify some conceptual problems resulting from several concepts of heat and work on the First Law of Thermodynamics.

1. Introdução

A tendência para o equilíbrio num modelo unidimensional foi anteriormente estabelecida [1]. O modelo então utilizado e ao qual novamente nos referimos, é constituído por um gás ideal clássico. As partículas do gás deslocam-se perpendicularmente a um êmbolo, que confina o gás. O gás e o êmbolo estão inseridos num cilindro cujas paredes reflectem as partículas elasticamente. O êmbolo move-se devido á aceleração da gravidade e á acção devida ás colisões das partículas. As partículas movem-se sem exercerem qualquer força de interacção entre si movendo-se paralelamente umas às outras, apenas colidindo com o êmbolo e com o fundo do cilindro. É nestas colisões com o êmbolo que emerge o mecanismo de interacção origem do atrito interno, que leva o êmbolo á posição final de equilíbrio [1]. Movendo-se as partículas com uma velocidade muito superior à velocidade do êmbolo verifica-se, por unidade de tempo, um elevado numero de colisões das partículas com o êmbolo. Estas colisões originam uma pressão. Quando o êmbolo está em movimento esta pressão é uma pressão dinâmica. De facto, se o êmbolo se deslocar no sentido do aumento de volume com uma velocidade diferente de zero, a pressão é ligeiramente inferior à pressão estática, a pressão sobre o êmbolo em repouso. Se o êmbolo comprimir o gás a pressão dinâmica é ligeiramente superior à pressão estática. O movimento do êmbolo submetido a esta pressão dinâmica e ao peso determina-se a partir da 2ª Lei de Newton. Esta equação do movimento tem um ponto assintoticamente estável, o ponto de equilíbrio do êmbolo [1]. Deste resultado, a tendência para o equilíbrio obtida por aplicação da 2ª Lei de Newton, conclui-se que a energia interna para um mesmo volume (quando o êmbolo regressa a um determinado volume) é superior ao valor anteriormente assumido para esse mesmo volume [2]: a energia mecânica do êmbolo degrada-se em energia interna, U , do gás. Deste facto podemos escrever $U=U(V,S)$, $dU \geq 0$, $dS \geq 0$. Somos conduzidos dessa forma à Segunda Lei da Termodinâmica, isto é, a variação de entropia, S , de um Sistema (conjunto de sub-sistemas e portanto térmicamente isolado, no caso presente o gás) é positiva ou nula [2]. A variação de entropia nula define a transformação reversível, que corresponde ao limite de um movimento extremamente lento, em equilíbrio, em que globalmente se pode regressar a valores anteriormente

assumidos - quando o êmbolo regressa a uma posição anterior a energia interna regressa ao valor anterior, não havendo variação de entropia.

No presente artigo, e tendo como base o mesmo modelo simplificado inicialmente referido, pretende-se estabelecer a ligação entre a descrição dinâmica permitida pela 2ª lei de Newton e as equações da termodinâmica, em particular a equação da variação da entropia. Na secção 2 mostra-se como a distinção entre pressão estática e pressão dinâmica conduz à necessidade de introduzir uma grandeza que se identifica com a entropia tradicional da Termodinâmica, concluindo-se que durante o regime dinâmico essa quantidade varia monotonicamente definindo a tendência para o equilíbrio. Na secção 3 obtém-se a equação dos gases ideais clássicos (“gases perfeitos”) e determina-se a entropia em função da temperatura e do volume. Na secção 4 estabelece-se a equação da variação da entropia ao longo do tempo, a qual será utilizada na simulação do regime dinâmico apresentada no Apêndice I. Mostra-se ainda como os resultados obtidos no modelo simplificado permitem esclarecer as condições de validade de certas aproximações por vezes utilizadas na análise termodinâmica de situações mais complexas. No Apêndice I deduz-se a equação do regime dinâmico do sistema por aplicação da 2ª lei de Newton, considerando que o movimento do êmbolo é determinado pela pressão dinâmica e pela acção gravítica, e apresentam-se os resultados da simulação numérica que evidenciam a tendência para o equilíbrio. No Apêndice II analisam-se as condições de validade da aproximação da pressão dinâmica pela pressão estática e as consequências desta aproximação na formulação do 1º Princípio da Termodinâmica.

2. A 2ª Lei de Newton, a pressão dinâmica e a tendência para o equilíbrio.

Consideremos a fig. 1:

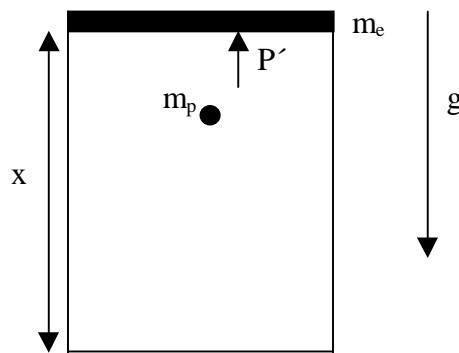


Fig. 1

A pressão p' é a pressão dinâmica sobre o êmbolo diferente da pressão estática p correspondente à pressão que o gás exerceria sobre o êmbolo em repouso. A área do êmbolo é unitária e portanto o volume V do gás é numericamente igual a x , a altura do embolo. A massa do êmbolo é m_e e a aceleração da gravidade é g . Note-se que se existisse gás do outro lado do êmbolo a pressão sobre o êmbolo seria a diferença das pressões (estáticas ou dinâmicas).

A 2ª Lei de Newton permite escrever

$$m_e \ddot{x} = p' - m_e g \quad (1)$$

Dado que a pressão dinâmica p' sobre o êmbolo depende do sentido do movimento do êmbolo, sendo superior ou inferior à pressão estática p conforme o êmbolo se desloque “contra” o gás ou “a favor” do gás, o êmbolo vai mover-se trocando energia com as partículas do gás de uma forma assimétrica (este processo é objecto de um tratamento quantitativo com simulação numérica no Apêndice I). Para compreender qualitativamente que assim é, basta notar o seguinte:

1. A energia das partículas do gás é essencialmente cinética (sem perda de generalidade desprezamos a energia potencial gravitacional) [1]. A soma das energias cinéticas das partículas é a energia interna do gás, U .

2. A energia que o êmbolo troca com o gás ao longo do movimento, vai-se distribuindo pelas diversas partículas, podendo distribuir-se de múltiplas maneiras dependentes da distribuição no tempo e no espaço que define colectivamente o movimento do gás [1].

3. Quando o êmbolo está num movimento ascendente (contrário à aceleração g) a pressão dinâmica é inferior à pressão estática que se exerceria sobre o êmbolo se este estivesse em repouso. Quando o êmbolo está num movimento descendente (no sentido da aceleração g) a pressão dinâmica é superior à pressão estática que se exerceria sobre o êmbolo se este estivesse em repouso. Portanto a energia que o gás cede ao êmbolo é inferior à energia que o êmbolo cede ao gás. Desta forma a amplitude do movimento do êmbolo vai diminuindo até atingir o repouso (dado o anteriormente afirmado, o êmbolo oscilaria indefinidamente se a pressão sobre o êmbolo em movimento fosse a pressão estática).

Podemos analiticamente exprimir 1., 2., 3., através do Teorema das Forças Vivas (TFV). O trabalho das forças dW que actuam sobre o êmbolo é a soma do trabalho do peso e da pressão dinâmica do gás, respectivamente dW_g e dW_p' . Este trabalho é (TFV) igual à variação da energia cinética do êmbolo

$$dW = dE_{cin} = dW_g + dW_p'$$

Do princípio de conservação de energia temos que $U + E_{cin} + E_{pot} = Constante$, em que U é a energia do gás, E_{cin} a energia cinética do êmbolo e E_{pot} a energia potencial gravitacional do êmbolo. O trabalho da força peso, dW_g , é simétrico da variação da energia potencial dE_{pot} . Temos portanto

$$dE_{cin} + dE_{pot} + dU = 0, \quad (2)$$

$$dW = dE_{cin}, \quad (3)$$

$$dW_g = -dE_{pot}, \quad (4)$$

$$dW - dW_g + dU = 0, \quad (5)$$

$$dW_g + dW_{p'} - dW_g + dU = 0, \quad (6)$$

$$dW_{p'} = -dU, \quad (7)$$

isto é, o trabalho da pressão dinâmica é igual ao simétrico da variação da energia do gás. Podemos exprimir este resultado na forma

$$dU = -p'dV \quad (9)$$

em que V é o volume ocupado pelo gás.

Dado que a pressão dinâmica p' é superior ou inferior à pressão estática p , dependendo da variação de volume ser negativa ou positiva, temos que

$$dU = -p'dV \geq -pdV. \quad (10)$$

A variação da energia do gás só é igual a $-pdV$ no limite em que a velocidade do êmbolo é zero. Tal condição verifica-se quando, a partir duma situação de equilíbrio, em que o peso do êmbolo é igual à pressão estática do gás e o êmbolo não tem energia cinética, se altera progressivamente o peso do êmbolo através do acréscimo de massas infinitesimais, "grãos de areia". Da relação anterior (10) temos que

$$dU = -pdV + \text{quantidade infinitesimal positiva} \quad (11) \\ \text{ou nula}$$

Podemos analiticamente exprimir este resultado introduzindo uma variável S (na energia interna) [2]

$$U = U(V, S). \quad (12)$$

De (12) temos

$$dU = (\partial U / \partial V)_S dV + (\partial U / \partial S)_V dS. \quad (13)$$

Façamos

$$(\partial U / \partial S)_V = \lambda, \quad (14)$$

e arbitremos $\lambda > 0$. Esta arbitrariedade acarreta que durante o regime dinâmico $dS \geq 0$, dado (11) e dado que

$$(\partial U / \partial V)_S = -p. \quad (15)$$

A variável S assim introduzida identifica-se com a tradicional grandeza entropia da Termodinâmica.

À medida que o êmbolo se movimenta o gás vai aumentando de entropia e a amplitude do movimento do êmbolo vai diminuindo até se atingir o repouso. A entropia atinge o máximo compatível com o peso associado ao êmbolo.

3. Determinação do estado final de equilíbrio: cálculo da pressão, do volume, de λ e de S .

A pressão que o gás exerce sobre o êmbolo em repouso pode facilmente ser calculada. A variação da quantidade de movimento de uma partícula numa colisão com o êmbolo é igual a $2 m_p v$ (consideremos por simplicidade e sem perda de generalidade que a partícula se movimenta perpendicularmente ao êmbolo com velocidade v). Dado que a frequência com que uma partícula colide com o êmbolo é o inverso do tempo entre colisões, $2 x/v$, isto é $v/(2 x)$, temos que a variação da quantidade de movimento por unidade de tempo é $2 m_p v v/(2 x)$, $(2/2) m_p v^2/x$. Para N partículas a pressão é evidentemente

$$p = N 2 (1/2) m_p v^2 / x, \quad (16)$$

ou seja a pressão de um gás de partículas é

$$p = 2 U/V, \quad (17)$$

dado $U = N (1/2) m_p v^2$ e $x = V$, dado considerarmos a área do êmbolo unitária. Não tendo as partículas todas a mesma velocidade há que calcular o valor médio de v^2 , isto é passamos a ter $U = N (1/2) m_p \langle v^2 \rangle$, e se as partículas se moverem em três dimensões a pressão passa a ser evidentemente $p = 2/3 U/V$.

Admitamos que no início o êmbolo de massa m_e , se encontra com velocidade nula e que a energia do gás é U_0 . Após o êmbolo dissipar a diferença de energia potencial entre a altura inicial e final, temos

$$-m_e g \Delta x = \Delta U = 1/2 \Delta(p V), \quad (18)$$

ou

$$-m_e g (V - V_0) = 1/2 (pV - p_0 V_0). \quad (19)$$

Dado que no equilíbrio

$$p = m_e g, \quad (20)$$

as equações (19) e (20) permitem calcular a pressão final de equilíbrio p e o volume final de equilíbrio V (ver apêndice II)

Para determinar os valores de λ e de S , partamos das relações (14) e (15). De $p = 2 U/V$ temos derivando ambos os membros em ordem a S , e dado (14),

$$(\partial p / \partial S)_V = 2 (\partial U / \partial S)_V / V = 2 \lambda / V. \quad (21)$$

De (15) temos derivando ambos os membros em ordem a S

$$(\partial^2 U / \partial S \partial V) = - (\partial p / \partial S)_V \quad (22)$$

De (14) temos derivando ambos os membros em ordem a V

$$(\partial^2 U / \partial S \partial V) = (\partial \lambda / \partial V)_S \quad (23)$$

ou seja, comparando (22) e (23)

$$(\partial \lambda / \partial V)_S = - (\partial p / \partial S)_V, \quad (24)$$

e dado (21)

$$(\partial \lambda / \partial V)_S = -2 \lambda / V. \quad (25)$$

De (25) concluímos que ao longo de uma transformação em que S não varia,

$$d\lambda / \lambda = -2 dV / V. \quad (26)$$

Integrando (26) temos que ao longo de uma isentrópica ($dS = 0$)

$$\lambda V^2 = \text{Const.} \quad (27)$$

De $p = - (\partial U / \partial V)_S = 2 U / V$, (15) e (17), obtemos da mesma forma

$$UV^2 = \text{Const.} \quad (28)$$

Comparando (27) e (28) obtemos, qualquer que seja S

$$U = A \lambda \quad (29)$$

em que A é constante para um dado valor de S . Podemos portanto escrever, de (17) e (29),

$$p = 2 U / V = 2 A \lambda / V \quad (30)$$

ou seja

$$pV = B \lambda \quad (31)$$

em que $B = 2 A$ é constante ao longo de uma transformação isentrópica ($dS=0$).

Se se admitir que B é constante, o que constitui uma boa aproximação para um gás ideal clássico [3], podemos calibrar λ . Foi o que empiricamente se admitiu quando se construiu o primeiro termómetro de ar a pressão constante, em que se admitiu uma linearidade entre V e a *temperatura empírica* (para o ar nas condições *C.N.T.P.* B é aproximadamente constante quando se muda de isentrópica, dado o ar estar naquelas

condições a comportar-se de acordo com a estatística de Maxwell-Boltzmann como um gás ideal clássico, para a qual a energia do gás é proporcional ao parâmetro λ). Desta forma temos que o parâmetro λ se pode identificar com a temperatura medida por um termómetro, dado o acordo entre a não variação de B e a hipótese de uma relação linear entre a temperatura e o volume.

Com esta hipótese, a de que a energia é proporcional a λ , pode-se medir a constante B e escrever $B = NK$ em que N é o número de partículas e K é uma constante. Se fizermos $\lambda=T$ (em que T é a temperatura) temos que nesta nova notação (31) passa a ser

$$pV = N K T. \quad (32)$$

Tendo os valores de N , de K , sabendo p e V (de (19) e (20)) sabemos o valor de λ , o valor de T .

A determinação da variação de S faz-se com o recurso à equação (13), que agora se pode escrever, atendendo a (15), (14) e que $\lambda = T$:

$$dU = -p dV + T dS. \quad (33)$$

De (33) temos

$$dS = (dU + p dV)/T \quad (34)$$

e como de (30) e (32):

$$p = 2 U / V = 2 A T / V = N K T / V, \quad (35)$$

temos

$$A = NK/2, \quad (36)$$

$$U = N K T / 2, \quad (37)$$

$$dS = (1/2) N K dT / T + N K dV / V. \quad (38)$$

Integrando (38) temos

$$S = S_0 + (1/2) N K \ln (T / T_0) + N K \ln (V / V_0). \quad (39)$$

4. A variação de entropia em ordem ao tempo

De (9) e (33) temos

$$dU = - p' dV = - p dV + T dS \quad (40)$$

Durante o movimento do êmbolo temos, de (40)

$$T dS = - (p' - p) dV \quad (41)$$

ou

$$\dot{S} = - (p' - p) \dot{x}/T \quad (42)$$

em que \dot{S} e \dot{x} são a derivada primeira em ordem ao tempo de S e de x . Para se calcular \dot{S} é necessário conhecer-se p' em cada instante. De facto se p' for conhecido pode determinar-se, dx através da equação (1), dU através da equação (9), p através da equação (17), T através da equação (32) e finalmente \dot{S} (*ver apêndice I*).

A pressão dinâmica p' só em modelos simples como o de um gás ideal clássico [1, 3] ou um gás de fotões [4] é que pode ser facilmente determinada em função de p . Mas conceptualmente, a descrição que acabamos de fazer é geral e verifica-se para todos os regimes dinâmicos. Exemplifiquemos com o movimento de uma massa m a oscilar submetida a acção do peso e à acção da força de uma mola. Em rigor, a força exercida pela mola depende da velocidade da massa que nela se pendurou. A solução correspondente ao movimento oscilatório harmónico linear sem atrito corresponde a se estar a admitir que a força dinâmica é igual à força estática ($dS = 0$), e a admitir que os parâmetros da mola nessa transformação isentrópica, por exemplo T , não variam.

Embora não seja possível, com generalidade, determinar p' , a abordagem do problema simplificado baseado no modelo unidimensional, dá indicação clara do que é possível determinar em situações complexas. Através da determinação experimental de coeficientes de variação $\beta = (1/V) (\partial V/\partial T)_p$ e $k = - (1/V) (\partial V/\partial p)_T$ é possível, integrando, determinar a equação de estado $p = p(T, V)$. Através da determinação experimental de $C_V = (\partial U/\partial T)_V$, para um determinado volume V_0 , C_{V0} , determina-se $dS = (\partial S/\partial T)_V dT + (\partial S/\partial V)_T dV$, dado $(\partial S/\partial T)_V = (C_V/T)$ e $(\partial S/\partial V)_T = (\partial p/\partial T)_V$, como é bem conhecido. Desta forma é possível determinar $U = U(T, V)$. Desta forma é possível, por exemplo, determinar a situação final de equilíbrio se se souber a descrição no tempo da força exterior (por exemplo o peso constante do êmbolo) (*ver apêndice II*). O trabalho da força exterior entre dois pontos de equilíbrio é igual ao trabalho da força dinâmica entre os mesmos pontos. Esta é uma situação complexa que se pode resolver.

Uma outra aproximação que em determinadas situações pode ser feita é aproximar p' por p , o que equivale a desprezar o termo TdS na equação (33) em face de $-pdV$ (*ver apêndice II*), *transformação isentrópica*, ou considerando que p' é p , considerar que TdS é a energia trocada com o exterior diferente da parcela $-pdV$. Mas o que não é aceitável, nem como uma aproximação, é considerar que o trabalho da força exterior é igual ao trabalho da força interior mesmo que o êmbolo esteja em movimento muito lento, bastando para tal notar, que quando o êmbolo é solto, no exemplo que temos vindo a considerar, a pressão exterior devida ao peso do êmbolo é diferente da pressão interior, embora no arranque as pressões dinâmicas e estática sejam praticamente iguais e o trabalho da força interior possa ser aproximado por $-pdV$ (*ver apêndice II*). Pode acontecer que, durante parte da trajectória dinâmica se verifique que o trabalho da força interior é aproximadamente dado pelo integral de $-pdV$, dado que o integral de TdS ainda é desprezável (*ver apêndice II*) sem no entanto se verificar igualdade entre os trabalhos elementares da força interior e da força peso. Em transformações reversíveis, contudo, o trabalho da força exterior é, sempre, igual ao trabalho da força interior, dado o êmbolo estar virtualmente sempre em repouso, isto é dado a força exterior ser sempre a menos de uma quantidade infinitesimal igual à força interior ($dS = 0$). Numa

transformação em que se realiza trabalho através de um dispositivo como o agitador de pás mecânicas de *Joule (paddle-wheel experiment)* [5], o trabalho evidentemente deixa de ser dado por $-p \, dV$ (embora eventualmente uma parcela do trabalho possa ser dada por $-p \, dV$ se existir um êmbolo que se desloque submetido a uma força peso).

Num regime dinâmico, em que há aceleração, só como aproximação é que a força dinâmica é a força estática. A transformação rigorosamente reversível é uma transformação rigorosamente isentrópica. Só como aproximação é que um regime dinâmico é isentrópico e a afirmação da reversibilidade das equações da mecânica contém esta aproximação: se se despreza o afastamento da força dinâmica da força estática obtêm-se diversos valores da energia do gás para os diversos valores da variável de deformação, no caso analisado o volume, sem que a entropia varie. Estes valores são os que rigorosamente seriam atingidos, através da alteração infinitesimal da força exterior (“grãos de areia”) em relação à força interior, isto é sem qualquer aceleração. Por isso é que a trajectória dinâmica, com esta aproximação, é dita reversível [6, 7], dado que faz uma descrição no tempo sem que a entropia varie – o regime é periódico, o gás e o êmbolo regressam periodicamente às condições iniciais, a energia do gás comporta-se como se fosse uma função potencial. Pode neste caso e nos similares fazer-se uma abordagem variacional - a abordagem vectorial de Newton e a abordagem da teoria variacional de Euler e Lagrange são equivalentes, existe uma “work function”, a entropia não varia [8, 9]. Temos assim duas ordens de aproximação – a “mecânica”, cuja descrição isentrópica, resulta do valor médio (em si uma aproximação) aproximadamente calculado por não considerar o movimento do êmbolo, e que se baseia na pressão estática - a “termodinâmica”, que contendo a aproximação inerente ao valor médio corrige-o ao considerar o movimento do êmbolo, dando significado à pressão dinâmica.

As idealizações têm de ser rigorosamente construídas. As aproximações têm de ser suportadas nas idealizações, e têm de ser aplicadas com cautela, pois podem dar origem a interpretações contraditórias ou a restrições desnecessárias [6, 7, 10, 11, 12-26]: a grandeza com a forma dQ que aparece na equação do 1º Princípio pode não corresponder a “calor trocado com o exterior” (ver apêndice II). No entanto é possível generalizar as equações para transformações irreversíveis que não sejam “quase-estáticas” (transformações em que a pressão exterior é igual à pressão estática [10], ou numa outra aceção transformações feitas ao longo de pontos de equilíbrio Termodinâmico [6, 7, 10, 11, 12-26]), bastando para tal que se introduza o conceito de pressão dinâmica.

Conclusão

Através da análise de um modelo simplificado estabeleceu-se a ligação entre a descrição dinâmica permitida pela *2ª Lei de Newton* e as equações que resultam da introdução da variável entropia - a *2ª Lei da Termodinâmica*. A variável temperatura surge como grandeza derivada permitindo resolver situações complexas que, com generalidade, só poderiam ser resolvidas pela *2ª Lei de Newton* se fosse possível determinar a força dinâmica que só como aproximação é a força estática. O modelo apresentado, dada a simplicidade, permite de uma forma clara compreender a origem, significado e condições de validade de algumas aproximações que se fazem na Termodinâmica ou eliminar restrições desnecessárias.

Apêndice I

Consideremos uma simulação do gás através da substituição das N partículas do gás por uma só partícula (*ver apêndice II*) cuja massa é igual à massa das N partículas e com a mesma energia do gás [1]. É razoável supor que esta é uma boa aproximação para massas do êmbolo muito superiores à massa do gás e em que a velocidade da partícula é muito elevada comparada com a velocidade do êmbolo, e para valores de x pequenos. Nestas condições o número de colisões na unidade de tempo é muito elevado.

Se nos colocarmos no referencial do êmbolo vemos o fundo do cilindro deslocar-se com uma componente de velocidade \dot{x} e a componente da velocidade da partícula passa a ser $(u - \dot{x})$. A pressão p' obtém-se substituindo em (16) v por $(u - \dot{x})$ e $N = 1$

$$p' = m_p (u - \dot{x})^2/x \quad (1)$$

ou

$$p' = m_p u^2 (1 - \dot{x}/u)^2/x \quad (2)$$

que para $|\dot{x}| \ll |u|$ tem o valor aproximado

$$p' = m_p u^2 (1 - 2\dot{x}/u)/x \quad (3)$$

A equação de conservação da energia escreve-se

$$\begin{aligned} E_0 &= (m_p + m_e) g x_0 + m_p u_0^2/2 + m_e \dot{x}_0^2/2 = \\ &= (m_p + m_e) g x + m_p u^2/2 + m_e \dot{x}^2/2 \end{aligned} \quad (4)$$

A 2ª Lei de Newton escreve-se

$$m_e \ddot{x} = p' - m_e g$$

ou

$$\ddot{x} = p'/m_e - g \quad (5)$$

Inserindo (3) em (5) vem

$$\ddot{x} = (m_p/m_e) u^2 (1 - 2\dot{x}/u)/x - g \quad (6)$$

De (4) temos

$$2 E_0/m_e - (1 + m_p/m_e) g x - \dot{x}^2 = (m_p/m_e) u^2 \quad (7)$$

Substituindo (7) em (6) temos

$$\ddot{x} = \{2 E_0/m_e - (1 + m_p/m_e) g x - \dot{x}^2\}(1 - 2 \dot{x}/u)/x - g \quad (8)$$

ou

$$\ddot{x} = \{2 E_0/m_e - (1 + a) g x - \dot{x}^2\}(1 - 2 \dot{x}/u)/x - g \quad (9)$$

em que $a = m_p/m_e$.

Esta equação pode facilmente ser resolvida com o recurso ao programa *Mathematica*.

Seguidamente apresenta-se o programa que permite representar graficamente (x, \dot{x}) , (x, t) e (\dot{x}, t) . Também se representa gráficamente (\dot{S}, t) , calculada a partir da equação (42) obtida anteriormente na secção 4.

```

en=(1+a)g x0+ a u0^2/2 + x0^2/2;
g=1;
a=10^(-4);
x0=0;
u0=100;
x0=2;
en
u[t]=Sqrt[(2 en - 2 (1+a) g x[t] - y[t]^2)/a];
soln=NDSolve[
{x'[t]==y[t],
y'[t]==((1/x[t])(2 en - 2 (1+a) g x[t] -
(y[t]^2))(1-(2 y[t])/u[t])-g),x[0]==2.0,
y[0]==0},{x,y},{t,50},MaxSteps->2000]
ParametricPlot[Evaluate[{x[t],y[t]}/.soln],{t,0,50}, PlotRange->All,
PlotPoints->50]
Plot[Evaluate[{x[t],y[t]}/.soln],{t,0,50}, PlotRange->All,
PlotPoints->50]

```

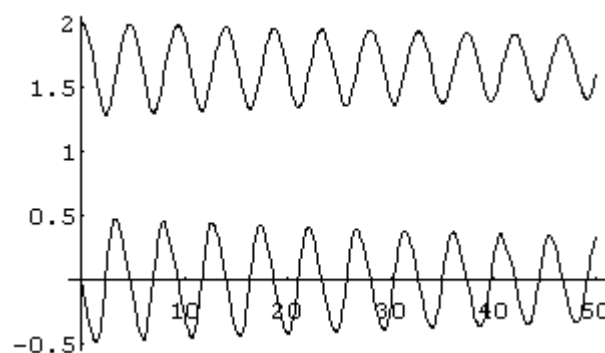


Fig. 2 Representação da posição e da componente da velocidade do êmbolo em função do tempo.

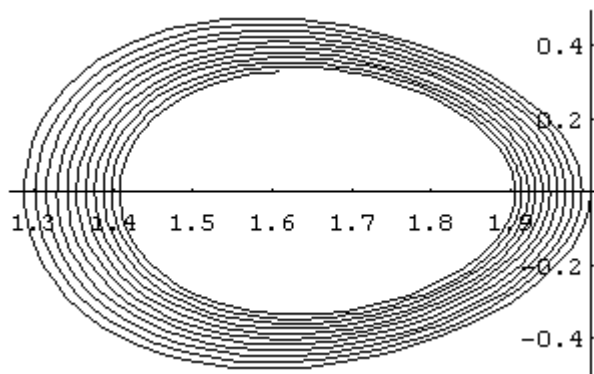


Fig. 3 Representação no espaço de fase do movimento do êmbolo (x, \dot{x}).

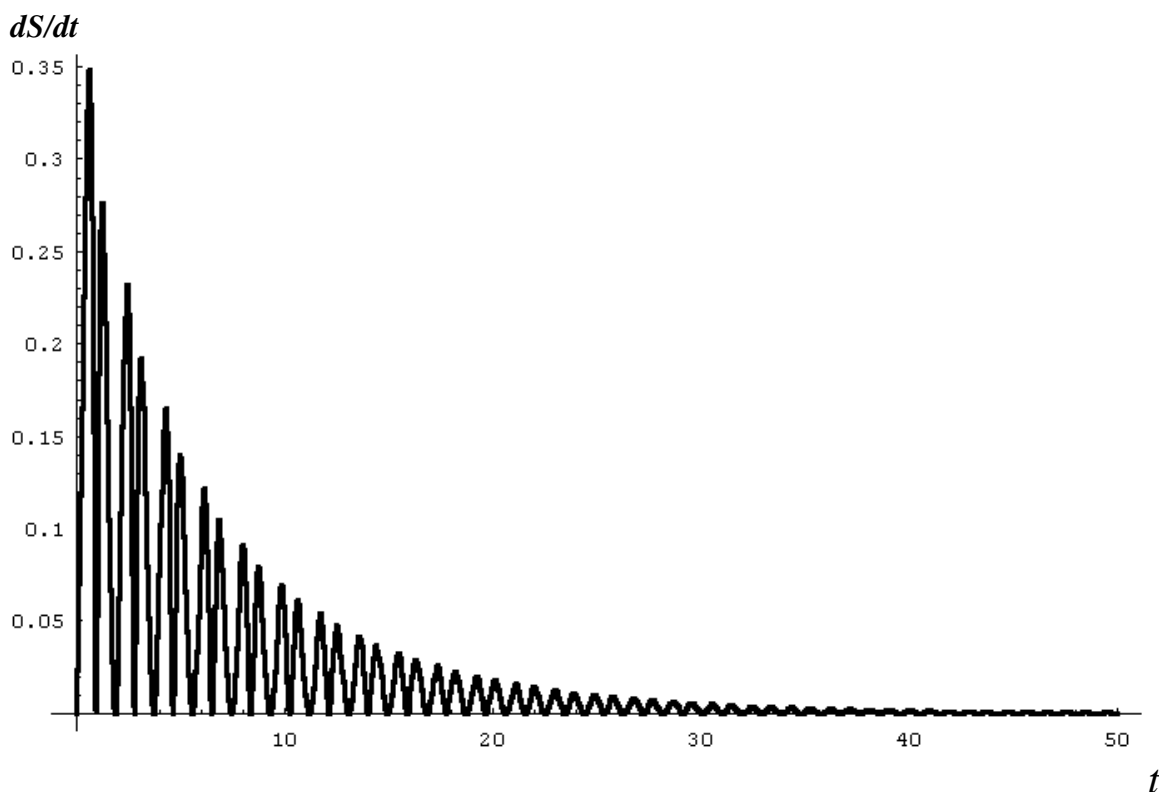


Fig. 4 Representação da variação de entropia em ordem ao tempo em função do tempo. Note-se que à medida que o êmbolo fica mais lento a produção de entropia vai diminuindo.

Apêndice II

Considere-se 0,1 mole de um gás ideal clássico monoatômico para o qual $c_v = 1,5 R$ (calor específico molar). O gás ocupa inicialmente o estado A com o volume $V_A = 2,5 \cdot 10^{-3} \text{ m}^3$ à temperatura $T_A = 300 \text{ K}$ e à pressão p_A de 10^5 Pa . A pressão devida ao peso de um êmbolo (que no início está bloqueado) é $p_e = 0,7 \cdot 10^5 \text{ Pa}$. Desbloqueado o êmbolo, este vai entrar em movimento dado a pressão p_A ser superior a p_e . Admitindo que a transformação é adiabática só há troca de energia entre o gás e o êmbolo que muda de energia cinética e de energia potencial devido às colisões das partículas do gás. O estado

final de equilíbrio, após algumas oscilações do êmbolo, pode ser facilmente calculado usando o princípio de conservação de energia e a igualdade das pressões do gás e do êmbolo, igualdade que se verifica no estado final de equilíbrio. Designemos por B este estado de equilíbrio final. Temos

$$\Delta U_{AB} + \Delta E_{AB} = 0 \quad (1)$$

$$\Delta E_{AB} = \Delta E_{pot_{AB}} = p_e (V_B - V_A) \quad (2)$$

em que U é a energia do gás, E é a energia total do êmbolo, soma da energia cinética com a energia potencial - E_{pot} é a energia potencial do êmbolo devida ao campo gravitacional que origina p_e . No estado B , dado o êmbolo estar em repouso, a energia cinética do êmbolo é também zero, como no estado A , e por isso a variação da energia cinética do êmbolo é zero. Dado

$$U = nc_v T$$

temos de (1) e (2)

$$-p_e (V_B - V_A) = nc_v (T_B - T_A) \quad (3)$$

em que $n = 0,1$ mole.

A pressão do gás no ponto de equilíbrio final p_B é igual à pressão do êmbolo p_e :

$$p_B = p_e = 0,7 \times 10^5 \text{ Pa} = \frac{nRT_B}{V_B} = \frac{0,1 \times R \times T_B}{V_B}. \quad (4)$$

(3) e (4) permitem determinar

$$V_B = 3,1 \times 10^{-3} \text{ m}^3 \quad (5)$$

$$T_B = 264,5 \text{ K}. \quad (6)$$

O estado final B de repouso do êmbolo foi daquela forma calculado.

Voltemos agora a situar-nos no estado de repouso inicial A e libertemos o êmbolo. O êmbolo após ser desbloqueado vai atingir uma altura máxima que pode ser facilmente calculada se admitirmos que durante o troço da trajectória entre o ponto de equilíbrio A e o ponto correspondente à altura máxima que vamos designar por C , a pressão dinâmica sobre o êmbolo é aproximada pela pressão estática. Dado o êmbolo em A e C estar em repouso $\Delta E_{cin} = 0$ (E_{cin} é a energia cinética do êmbolo). Temos que

$$W = \int_{AC} -p' dV + \int_{AC} p_e dV = \Delta E_{cin_{AC}} = 0 \quad (7)$$

e portanto

$$\int_{AC} -p' dV = \int_{AC} -p_e dV = -p_e (V_C - V_A). \quad (8)$$

Como

$$\int_{AC} -p' dV = U_C - U_A \quad (-p' dV = dU)$$

temos

$$U_C - U_A = -p_e (V_C - V_A) \quad (9)$$

Dado

$$p' \cong p \quad (dS \cong 0)$$

temos (ver obtenção da eq. (28) em 3.)

$$p_C V_C^{\alpha+1} \cong p_A V_A^{\alpha+1}. \quad (10)$$

A transformação é aproximadamente isentrópica. Podemos escrever (10) na forma

$$T_C V_C^\alpha \cong T_A V_A^\alpha \quad (11)$$

em que $\alpha = 2/3$ se o gás for mono-atômico.

De (11)

$$T_C \cong \frac{T_A V_A^\alpha}{V_C^\alpha}. \quad (12)$$

Atendendo a que

$$U_C - U_A \cong nR \times 1,5 \times (T_C - T_A) \quad (13)$$

substituindo $U_C - U_A$ em (9) e tendo em conta (12) e os valores dados de V_A , T_A , p_e e n , obtém-se:

$$V_C \cong 3,6 \times 10^{-3} m^3. \quad (14)$$

Entre A e C verifica-se que

$$U_C - U_A = \int_{AC} -p' dV \cong \int_{AC} -pdV \quad (15)$$

dado a pressão dinâmica ser aproximadamente a pressão estática, mas entre A e B

$$U_B - U_A = \int_{AB} -p' dV \neq \int_{AB} -pdV \quad (16)$$

dado entre o estado inicial A e o estado final B não ser já aceitável ignorar o termo de variação da entropia, pelo que

$$U_B - U_A = \int_{AB} -p' dV = \int_{AB} (-pdV + TdS). \quad (17)$$

De facto, entre A e C considerou-se, em boa aproximação, que a transformação é *quase-isentrópica*, o que já deixará de ser válido para transformações entre estados mais distanciados como A e B . Estas considerações são consistentes com os resultados da simulação no Apêndice I - no espaço de fase, no primeiro ciclo da trajectória de fase o sistema regressa a um estado muito próximo do estado inicial, descrevendo assim uma trajectória quase fechada correspondente a uma transformação quase-isentrópica; mas nos ciclos seguintes a trajectória vai-se progressivamente afastando do ciclo inicial, evidenciando assim uma variação significativa, e cumulativa, da entropia.

Desta forma compreende-se a razão da equação,

$$dU = -pdV + dQ \quad (18)$$

poder conduzir a uma boa aproximação fazendo $dQ=0$ (a transformação é dita *adiabática*) – é o que se verifica entre A e C , num pequeno troço da trajectória. Mas entre os estados inicial A e final B não se pode admitir a validade da equação com $dQ=0$, embora a transformação seja *adiabática*. De facto entre A e B temos que

$$dU = -p' dV = -pdV + TdS = dW + dQ \quad (19)$$

com (as grandezas são aqui definidas formalmente)

$$\begin{aligned} dW &= -pdV \\ dQ &= TdS \neq 0 \end{aligned}$$

e, evidentemente, poderíamos escrever (mas agora também com significado físico)

$$dU = -p' dV = dW' + dQ' \quad (20)$$

$$\begin{aligned} dQ' &= 0 \dots\dots\dots(\text{transformação..adiabática}) \\ dW' &= -p' dV \dots\dots(\text{transformação..não - isentrópica}) \end{aligned}$$

com

Em troços da trajectória (como entre A e C) poderemos ter aproximadamente

$$\int_{\dot{A}C} dW' \cong \int_{AC} dW \qquad \int_{\dot{A}C} dQ' \cong \int_{AC} dQ \qquad (21)$$

Mas entre A e B

$$\int_{\dot{A}B} dW' \neq \int_{AB} dW \qquad \int_{\dot{A}B} dQ' \neq \int_{AB} dQ \qquad (22)$$

Deste modo compreende-se como por uma via conceptualmente errada se podem obter resultados aproximadamente correctos. Evidentemente que através de uma via conceptualmente correcta podem-se obter os mesmos resultados, e obviamente outros quando as aproximações deixam de ser válidas – é o que se passa entre os estados inicial e final A e B em que deixa de ser válida a equação

$$dU = -pdV + dQ = dW + dQ$$

com $dQ=0$, devendo esta equação ser substituída pela equação (21). A equação é generalizada para transformações não “quase-estáticas” [6, 7].

Note-se que é fácil, através do modelo analisado, compreender a origem de diversas formulações da Termodinâmica: temos três “trabalhos” elementares – o da força peso, o da força estática e o da força dinâmica. Em transformações reversíveis estes trabalhos são iguais. Em transformações irreversíveis podem coincidir, aproximadamente, entre A e C , o trabalho da pressão dinâmica e da pressão estática - e o trabalho da pressão exterior, devido ao peso do êmbolo, é também igual a estes dois trabalhos entre esses dois pontos de equilíbrio do êmbolo. Obviamente que na equação do 1º Princípio não se pode arbitrariamente identificar um destes trabalhos com o termo dW , dado que, como vimos, é o trabalho da pressão dinâmica que, com generalidade (por exemplo ente A e B), permite verificar a Lei da Conservação da energia. A generalização da análise para uma parede adiabática móvel separando dois volumes de gás tem sido feita, mas tem originado controvérsia, não existindo ainda consenso sobre esta matéria. Esta última análise é importante ser referida, pois faz surgir relativamente ao problema anterior uma nova variável, a pressão do gás que agora passa a existir do outro lado do êmbolo. A pressão sobre o êmbolo devida às colisões das partículas, é agora a diferença das pressões exercidas em cada um dos lados do êmbolo e o trabalho da pressão dinâmica passa a ser o trabalho desta diferença de pressões. A razão da controvérsia resulta da atribuição de significado físico a uma grandeza dQ que, nesse contexto, não o tem, e que é considerada nula por a parede (o êmbolo) ser “adiabático” [7,12-26] (ver Abreu, R. <http://xxx.lanl.gov/abs/cond-mat/0205566>).

Referências

1. Abreu Faro, M. e Abreu, R. *A one-dimensional model of irreversibility*, *EPS 10, TRENDS IN PHYSICS*, 314, Sevilha (1996).
2. Abreu Faro, M. e Abreu, R. *Sobre um princípio de energia-entropia*, *Acad. das Ciências de Lisboa*, XXXI (1990). (Abreu, R. <http://xxx.lanl.gov/abs/physics/0207022>)
3. Abreu, R. *O conceito de temperatura como uma grandeza derivada da energia e da entropia* *Técnica* 3/4, 116 (1985); Landsberg, P. T., *Am. J. Phys.* 29, 695 (1961).
4. Abreu Faro, M. e Marçal, H. *Energia confinada em cavidade de parede móvel. Análise da evolução para o equilíbrio. Interpretação física*, *Memórias da Academia das Ciências de Lisboa, Classe de Ciências*, Tomo XXXVIII (1998).
5. Joule, J. P. *On the existence of an equivalent relation between heat and the ordinary forms of mechanical power*, *Energy Historical Development of the Concept*, *Benchmark Papers on Energy*, Dowden, Hutbhinson & Ross, Inc, p. 345 (1975).
6. Allis, W. Herlin, M. *Thermodynamics and Statistical Mechanics*, McGraw-Hill, New York, p. 85 (1952).
7. Abreu, R. *Técnica* 1, 53 (1994).
8. Lanczos, C. *The variational Principles of Mechanics*, University of Toronto Press, p. XXIV (1970).
9. Abreu, R. Pinheiro, M. *Técnica* 1, 69 (1993).
10. Güemez, J. Fiolhais, C. Fiolhais, M. *Fundamentos de Termodinâmica do Equilíbrio*, *Fundação Calouste Gubenkian*, 33, 34, 66, 67, 79, 82, 83, 142, 143, 187, 318 (1998).
11. Callen, H. *Thermodynamics and an Introduction to Thermostatistics*, Second Edition, Fourth Printing, John Wiley & Sons, New York, 99 (1987).
12. Feynman, R. Leighton, R. Sands, M. *The Feynman Lectures on Physics*, Addison-Wesley, Reading, 39-6 (1976).
13. Sivoukhine, D. *Thermodynamique et Physique Moléculaire*, MIR, Moscovo, p. 200 (1982).
14. Callen, H *Thermodynamics*, John Wiley & Sons, New York, p. 321 (1960).
15. Curzon, A. E. *Am. J. Phys.* 37, 404 (1969).
16. Leff, H. S. *Am. J. Phys.* 38, 546 (1970).
17. Curzon, A. E. Leff, H. S. *Am. J. Phys.* 47, 385 (1979).

18. Abreu, R. Técnica 1, 43 (1990). (Abreu, R. <http://xxx.lanl.gov/abs/cond-mat/0205566>)
19. Abreu, R.; Brotas, A.; Delgado Domingos, J. J.; Pina, H.; Pinheiro, M. (diversos artigos) Técnica 1 (1993).
20. Abreu, R. e Pinheiro, M *EPS 9 TRENDS IN PHYSICS*, Abstracts, T20, 133, Firenze (1993).
21. Crawford, F. S. Am. J. Phys. 61, 317 (1993).
22. Leff, H. S. Am. J. Phys. 62, 120 (1994).
23. Brogueira, P. e Dias de Deus, J. *Gazeta de Física*, vol. 18, Fasc. 1, 19 (1995).
24. Güemez, J. Fiolhais, C. Fiolhais, M. *Fundamentos de Termodinâmica do Equilíbrio*, Fundação Calouste Gubenkian, p.318 (1998).
25. Abreu, R. *EPS 11 TRENDS IN PHYSICS*, Abstracts, p. 66, London (1999).
26. Formosinho, S. J. Oliveira Branco, J. *O Brotar da Criação*, Universidade Católica Editora, Lisboa, p.88 (1997).